

ние ПД, с другой стороны, позволяет при выполнении этих операций не изменять состояния ПД – регистра хранения информации в ЗУ на ВБЛ.

### Л и т е р а т у р а

- [1] K o n i s h i S. // IEEE Trans. on Magn. 1983. V. MAG-19. N. 5. P. 1838-1840.
- [2] Малоземов А., Спонзуски Дж. Доменные стенки в материалах с цилиндрическими магнитными доменами. М.: Мир, 1982. 362 с.
- [3] О Д е л л Т. Магнитные домены высокой подвижности. М.: Мир, 1978. 197 с.
- [4] А.Г. Шишков, В.В. Гришачев, Е.Н. Ильичева, Ю.Н. Федюнин. // ФТТ. 1988. Т. 30. В. 8. С. 2537-2538.

Московский государственный университет им. М.В. Ломоносова

Поступило в Редакцию  
4 октября 1988 г.

Письма в ЖТФ, тсм 15, вып. 2

26 января 1989 г.

05.3; 05.4

### ОСОБЕННОСТИ ТЕПЛООВОГО РАСПРОСТРАНЕНИЯ НОРМАЛЬНОЙ ФАЗЫ В ВЫСОКОТЕМПЕРАТУРНЫХ СВЕРХПРОВОДНИКАХ

В.А. А л ь т о в, Ю.М. Л ь в о в с к и й,  
В.В. С ы ч е в

1. Перспективы использования высокотемпературной сверхпроводимости [1] связываются с созданием композитных проводников, стабилизированных, как и традиционные сверхпроводники, матрицей из нормального металла с высокой проводимостью [2]. Одним из главных требований остается их устойчивость к переходу в нормальное состояние [3], в частности при распространении тепловой волны – нормальной зоны [2]. Говорить о детальном описании диссипативных свойств высокотемпературных композитов преждевременно. Однако уже сейчас могут быть выявлены основные отличия в распространении нормальных зон, вызванные теплофизическими особенностями при азотных температурах.

2. Тепловое состояние тонкого сверхпроводника сечением  $S$  и периметром  $L$  описывается уравнением теплопроводности

$$cS \frac{\partial T}{\partial t} = \frac{\partial}{\partial x} \left( \lambda S \frac{\partial T}{\partial x} \right) + W(T, I) - Q(T), \quad (1)$$

где  $T$  - температура,  $t$  - время,  $x$  - координата вдоль проводника,  $\lambda$  и  $C$  - средние по сечению композита теплопроводность и теплоемкость,  $W = I^2 \rho / S$  и  $Q = h\pi(T - T_B)$  - тепловыделение и теплосъем с единицы длины,  $I$  - ток,  $\rho$  - удельное сопротивление,  $h$  - коэффициент теплоотдачи в азотную ванну с температурой  $T_B$ .

Параметры матрицы при азотных температурах отличаются от гелиевых намного большей ( $\sim 10^3$  раз) теплоемкостью, меньшей (в 10-20 раз) теплопроводностью и существенно (на два порядка) большим удельным сопротивлением. Как следствие, зона будет иметь значительно меньшую скорость распространения  $V \sim (h\pi\lambda/SC^2)^{1/2}$  (см/с вместо м/с [3]) и более узкий фронт  $\Delta x \sim (\lambda S/h\pi)^{1/2}$ .

Важнейшее отличие состоит в необходимости учета зависимости  $\rho(T)$  в нормальной области. При гелиевых температурах эта зависимость имеет „полочку“, обусловленную остаточным сопротивлением [4]. Поэтому ранее распространение зон изучалось в моделях с  $\rho = const$  при  $T > T_{co}$ , когда при сколь угодно большом токе имеется устойчивое состояние  $T_\alpha > T_{co}$ :

$$W(T_\alpha) = Q(T_\alpha), \quad dW/dT|_{T_\alpha} < dQ/dT|_{T_\alpha}. \quad (2)$$

При азотных температурах такое описание неприемлемо. Рост сопротивления с температурой вызывает появление предельного тока  $I^*$  (тока пережога), выше которого  $W > Q$  для всех  $T > T_{co}$ , что приводит к неконтролируемому разогреву проводника [2]. В модельном анализе примем постоянными коэффициенты  $\lambda$ ,  $C$  и  $h$  (плёночное кипение). Зависимость же  $\rho(T)$  линейна с весьма высокой точностью для металлов типа меди, алюминия, серебра в диапазоне 50-200 К. В безразмерных величинах [2] уравнение (1) примет вид

$$\frac{\partial \tau}{\partial \xi} - \frac{\partial^2 \tau}{\partial \xi^2} = \varphi(\tau) \equiv \alpha i^2 r(\tau, i) - \tau, \quad (3)$$

где  $\alpha = I_c^2 \rho(T_{co}) / h\pi S (T_{co} - T_B)$  - параметр Стекли. Поскольку  $\rho(T_{co})$  на два порядка выше, а значительное снижение плотности тока в обмотке неприемлемо, высокотемпературные композиты будут характеризоваться высокими  $\alpha$  (пониженным уровнем стабилизации).

В качестве базовых брались два типа функций  $r(\tau)$  - скачкообразная:

$$r = \begin{cases} 0 & \tau < \tau_c(i) \\ 1 + r'(\tau - 1) & \tau > \tau_c(i) \end{cases} \quad (4)$$

и непрерывная с переходной линейной областью

$$r = \begin{cases} 0 & \tau < \tau_r(i) \\ \frac{\tau - \tau_r}{\tau_c - \tau_r} [1 + r'(\tau_c - 1)] & \tau_r < \tau < \tau_c(i) \\ 1 + r'(\tau - 1) & \tau > \tau_c \end{cases} \quad (5)$$

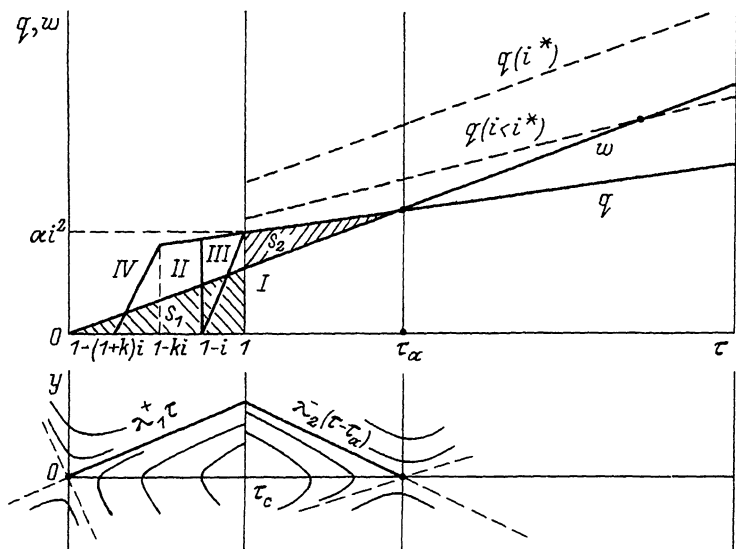


Рис. 1. Кривые тепловыделения и теплосъема в высокотемпературном композитном сверхпроводнике для моделей 1-1У (верхняя часть) и фазовый портрет задачи (9) для случая модели 1.

Характеризующий температурную зависимость сопротивления параметр

$$r' = 1 - \rho(T_B) / \rho(T_{c0}) \quad (6)$$

возрастает с ростом критической температуры сверхпроводника. Так, для сверхпроводников, охлаждаемых азотом ( $T_B = 77$  К) и стабилизированных медью,  $r' = 0.36$  для  $T_{c0} = 90$  К; 0.5 для 100 К; 0.63 для 120 К; стабилизированных алюминием - 0.44, 0.56 и 0.7; серебром - 0.26, 0.38 и 0.52. Условие  $r' < 1$  - "линейный аналог" критерия устойчивости (2), представленного в виде

$$\frac{1}{Q} \frac{dQ}{dT} > \frac{1}{W} \frac{dW}{dT} \equiv \frac{1}{\rho} \frac{d\rho}{dT}. \quad (2a)$$

Равновесная температура нормальной фазы равна

$$\tau_\alpha = \frac{\alpha i^2 (1 - r')}{1 - \alpha i^2 r'}. \quad (7)$$

С ростом тока наклон кривой  $q(\tau) = \alpha i^2 r(\tau)$  увеличивается (пунктирные прямые рис. 1), и при значении

$$i^* = (\alpha r')^{-1/2} \quad (8)$$

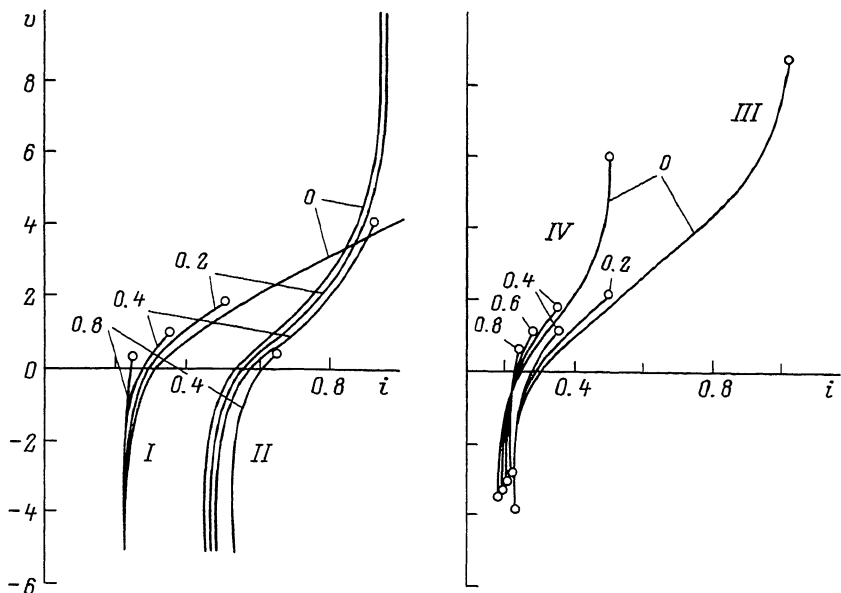


Рис. 2. Зависимости безразмерной скорости распространения нормальной зоны от тока. а) модели со скачком: модель I -  $\alpha = 20$ ; модель II -  $\alpha = 3$ ; б) непрерывные модели III и IV,  $\alpha = 20$ . Цифры у кривых - значения  $r'$ .

устойчивое состояние исчезает. Приближение к току  $i^*$  сопровождается неограниченным ростом равновесной температуры проводника.

3. Анализ распространения нормальных зон выполнен для четырех основных моделей [5]. Движущейся со скоростью  $U$  зоне отвечает профиль  $\tau(\xi, \theta) = \tau(\eta = x + U\theta)$ ,  $\tau(-\infty) = 0$ ,  $\tau(+\infty) = \tau_\alpha$ . Заменой  $d\tau/d\eta = y(\tau)$  уравнение (3) приводится к задаче [6]

$$\frac{dy}{d\tau} = y - \frac{\varphi(\tau)}{y}, \quad y(0) = y(\tau_\alpha) = 0. \quad (9)$$

Решением данной классической автоволновой задачи Колмогорова-Петровского-Пискунова (КПП) является сепаратриса, идущая из седла  $(0, 0)$  в седло  $(\tau_\alpha, 0)$  (рис. 1). Для моделей со скачком (4) сшивка сепаратрис  $y_1 = \lambda_1^+ \tau$  и  $y_2 = \lambda_2^- (\tau - \tau_\alpha)$ , где  $\lambda_1^+ = \nu/2 + \sqrt{\nu^2/4 - \varphi'(0)}$ ,  $\lambda_2^- = \nu/2 - \sqrt{\nu^2/4 - \varphi'(\tau_\alpha)}$  дает аналитическое выражение

$$\nu = \frac{\varphi'(0)\tau_\alpha^2 - \varphi'(\tau_\alpha)(\tau_\alpha - \tau_c)^2}{\sqrt{\tau_\alpha \tau_c (\tau_c - \tau_\alpha) [-\varphi'(\tau_\alpha)(\tau_\alpha - \tau_c) - \varphi'(0)\tau_c]}} = 2 \frac{S_2 - S_1}{\sqrt{\tau_\alpha \tau_c (\tau_\alpha - \tau_c) \Delta\varphi|_{\tau_c}}} \quad (10)$$

(В нашем случае  $\varphi'(0) = -1$ ,  $\varphi'(\tau_\alpha) = \alpha i^2 r' - 1$ ). Полученная формула (10) удобна для изучения предельных переходов в задаче

КПП в простейшей модели при изменении основных параметров  $\tau_a, \tau_c, \varphi'(0), \varphi'(\tau_a)$ .

Примечательный результат состоит в том, что в пределе  $i \rightarrow i^*$ , когда  $S_2 \rightarrow \infty$  и  $\max|\varphi| \ll \infty$  скорость  $v$  в задаче КПП стремится к конечному значению  $v^* = \varphi(\tau_c + 0) (\tau_c \Delta \varphi \tau_c)^{1/2}$  и притом с конечной производной  $dv/di$  (Как известно [6], исчезновение устойчивого состояния при  $S_2 \rightarrow 0$  сопровождается бесконечным ростом производной, а для моделей со скачком — и скорости).

Зависимости  $v(i)$  приведены на рис. 2. В первой модели [7]  $\tau_c \equiv 1$ , влияние критического тока отсутствует. Учет  $r' > 0$  приводит к увеличению  $v$  и к срыву при  $i = i^*$ . Вторая модель [8], где  $\tau_c = 1 - i$ , дает бесконечный рост  $v$  вблизи  $i = 1$ . В ней минимальный ток существования  $i_m (\propto i_m^2 (1 - r' i_m) = 1 - i_m)$  увеличивается с ростом  $r'$ . При малых  $\alpha$  рост  $r'$  может повлечь уменьшение скорости из-за уменьшения площади  $S_2$  при  $\tau_c < \tau < 1$ . При больших  $\alpha$  поведение кривых ближе к I модели. Для непрерывных моделей (5) решение находилось численно. В модели III, где  $\tau_c = 1, \tau_r = 1 - i$  [9], общий вид кривых  $v(i)$  сходен с моделью I, но предельные скорости конечны. Наконец, в модели IV, учитывающей влияние тока в обмотке на критические параметры [10], где  $\tau_c = 1 - ki, \tau_r = 1 - (1 + k)i$ , минимальный ток существования  $i_m$  так же, как в модели II, растет с ростом  $r'$ ; а минимальная скорость уменьшается (по абсолютной величине).

Как видим, во всех моделях учет  $r' > 0$  заметно сужает диапазон рабочих токов, а подход к току пережога  $i^*$  не сопровождается заметными изменениями в зависимостях  $v(i)$ . Поэтому с точки зрения стационарной стабилизации, высокотемпературные композиты обладают более узкой рабочей областью и пониженным запасом устойчивости к изменению параметров. Сделанный в [3] вывод о повышенной устойчивости относится лишь к нестационарным возмущениям фиксированного уровня (например, в компаундированных обмотках).

## Л и т е р а т у р а

- [1] В е д н о р з J.G., М у л л е р K.A. Zs. Phys, 1986, v. B64, N 2. P. 189-193.
- [2] А л ь т о в В.А., З е н к е в и ч В.Б., К р е м л е в М.Г., С ы ч е в В.В. Стабилизация сверхпроводящих магнитных систем. М.: Энергоатомиздат, 1984. 312 с.
- [3] Г у р е в и ч А.Вл., М и н ц Р.Г., Р а х м а н о в А.Л. // Письма в ЖТФ, 1988. Т. 14, № 6. С. 561-564.
- [4] Справочник по физико-техническим основам криогеники / Под ред. М.П. Малкова. М.: Энергоатомиздат, 1985. 432 с.
- [5] А л т о в V.A., L v o v s k y Ю.М., S y t s h e v V.V. // Cryogenics. 1987. V. 27. N 3. P. 121-130.
- [6] Л ь в о в с к и й Ю.М. // ЖТФ, 1984. Т. 54. № 9. С. 1663-1670.

- [7] Broom R.F., Rhoderick E.H. // Brit. J. Appl. Phys. 1960. V. 11. N 7. P. 291-296;  
Cherry W.H., Gittleman J.T. // Solid-State Electron. 1960. V. 1. P. 287-305.
- [8] Keilin V.E., Klimenko E.Yu., Kremlev M.G., Samoilov N.B. - In: Les Champs Magnetiques Intenses, CRNS, Paris, 1967. P. 231.
- [9] Altov V.A., Kremlev M.G., Sytchev V.V., Zenkevitch V.B. // Cryogenics. 1973. V. 13. N 7. P. 420-422.
- [10] Альтов В.А., Благоев В.Б., Кулысов Н.А., Сычев В.В. // ДАН СССР. 1985. Т. 291. С. 1104-1107.

Всесоюзный научно-исследовательский  
институт метрологической службы  
Москва

Поступило в Редакцию  
30 сентября 1988 г.

Письма в ЖТФ, том 15, вып. 2

26 января 1989 г.

05.1

## О КРИТИЧЕСКОЙ УСТОЙЧИВОСТИ ДИСЛОКАЦИЙ В МИКРОКРИСТАЛЛАХ

В.Г. Грязнов, А.М. Капрелов,  
А.Е. Романов

Картина физических процессов в кристалле усложняется и приобретает все большее многообразие с уменьшением его размеров [1]. Это проявляется особенно ярко, когда размеры кристалла соизмеримы с масштабом того или иного физического явления. Естественно предположить, что такого рода эффекты могут сказаться на дефектной структуре кристалла с уменьшением его размеров. Настоящее сообщение посвящено теоретическому рассмотрению дислокаций в микрокристаллах (МК). По нашему мнению, решение проблемы устойчивости дислокаций в МК и определение соответствующего размерного критерия является *terminus a quo* для дальнейшего исследования физико-механических свойств микрокристаллических веществ.

На движущуюся в кристаллической решетке дислокацию действуют силы двух типов: 1) конфигурационные силы (действие которых вызвано наличием в кристалле границ раздела и свободной поверхности, а также приложенными к поверхности кристалла внешними нагрузками [2]; 2) силы трения решетки [3]. Известно, что дислокации являются термодинамически неравновесными дефектами,